

11 - 5 震源過程解析結果の図の訂正について

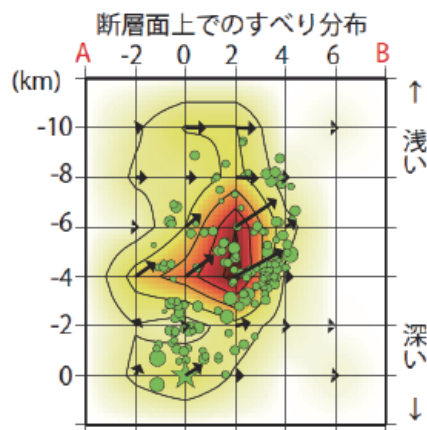
Revision of figures in the result of the source inversion analysis

気象庁

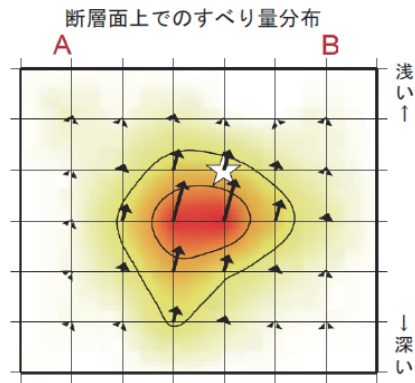
Japan Meteorological Agency

連絡会報第86巻に掲載された2011年3月15日静岡県東部の地震，第87巻に掲載された2011年6月23日岩手県沖の地震，2011年7月23日宮城県沖の地震，2011年7月25日福島県沖の地震の近地強震波形による震源過程解析結果の図を以下の通り訂正する．

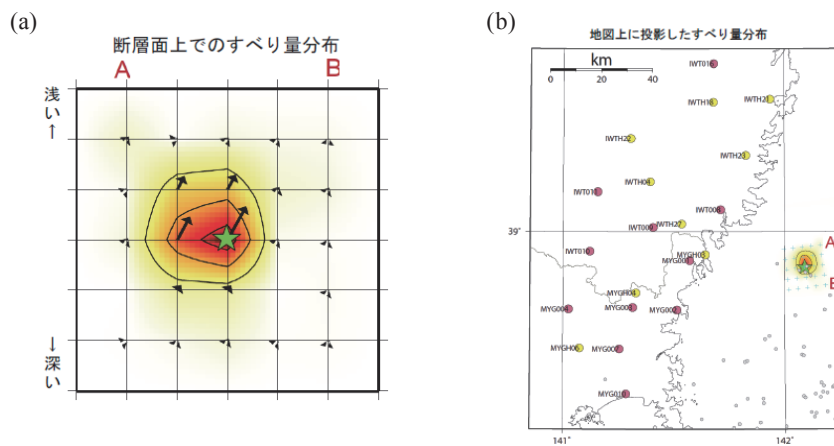
1. 第86巻 6 - 2 2011年3月15日の静岡県東部の地震 (M6.4) についての第3図 近地強震波形を用いた震源過程解析 (p.423)
「断層面上でのすべり分布」のすべりベクトルの向きを訂正する (第1図) .
2. 第87巻 3 - 1 東北地方とその周辺の地震活動 (2011年6月～10月) の第3図(b) 2011年6月23日 岩手県沖の地震 近地強震波形による震源過程解析 (p.69)
「断層面上でのすべり量分布」のすべりベクトルの向きを訂正する (第2図) .
3. 第87巻 3 - 1 東北地方とその周辺の地震活動 (2011年6月～10月) の第5図(b) 2011年7月23日 宮城県沖の地震 近地強震波形による震源過程解析 (p.73)
「断層面上でのすべり量分布」のコンター及びすべりベクトルを訂正する (第3図(a)) .
「地図上に投影したすべり量分布」のシンボルAとBの位置を入れ替える (第3図(b)) .
「設定した断層面」のキャプションの走向を 173° へ訂正する.
4. 第87巻 3 - 1 東北地方とその周辺の地震活動 (2011年6月～10月) の第9図(b) 2011年7月25日 福島県沖の地震 近地強震波形による震源過程解析 (p.80)
「断層面上でのすべり量分布」のすべりベクトルの向きを訂正する (第4図) .



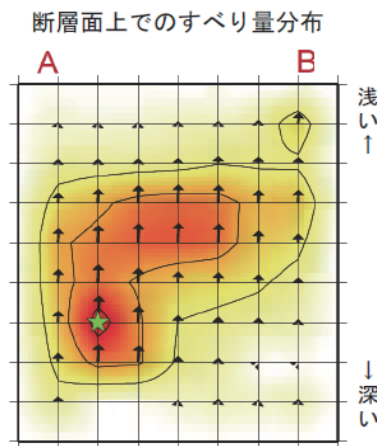
第1図 断層面上でのすべり量分布：2011年3月15日静岡県東部の地震の近地強震波形を用いた震源過程解析
Fig.1 Slip distribution on the fault plane: source inversion analysis using near-field strong motion seismograms of the earthquake in the eastern part of Shizuoka Prefecture on March 15, 2011.



第2図 断層面上でのすべり量分布：2011年6月23日岩手県沖の地震の近地強震波形を用いた震源過程解析
 Fig.2 Slip distribution on the fault plane: source inversion analysis using near-field strong motion seismograms of the earthquake off Iwate Prefecture on June 23, 2011.



第3図 (a) 断層面上でのすべり量分布, (b) 地図上に投影したすべり量分布：2011年7月23日宮城県沖の地震の近地強震波形を用いた震源過程解析
 Fig.3 (a) Slip distribution on the fault plane. (b) Map view of slip distribution: source inversion analysis using near-field strong motion seismograms of the earthquake off Miyagi Prefecture on July 23, 2011.



第4図 断層面上でのすべり量分布：2011年7月25日福島県沖の地震の近地強震波形を用いた震源過程解析
 Fig.4 Slip distribution on the fault plane: source inversion analysis using near-field strong motion seismograms of the earthquake off Fukushima Prefecture on July 25, 2011.